

基于最小化联合 ℓ_2, ℓ_1 范数的非凸秩估计的红外小目标检测

IPI模型

IPI模型：

$$D = B + T + N. \quad (4)$$

原图像D由背景B、目标T、噪声N组成。

IPI模型基于两个假设，**背景图像是一个低秩矩阵，目标图像是一个稀疏矩阵**。论文提到该假设较为符合物理实际，并且现在有很多高效的低秩矩阵恢复的方法，所以这个模型效率和泛用性极高。

该模型通过滑动窗将原图像进行提取，将得到的每个面片（Patch）拉伸成一维列向量，n个列向量组合成新的矩阵，即公式中的D。

T是一个稀疏矩阵，即

$$\|T\|_0 < k, \quad (5)$$

T的非零元个数小于k，k远小于T矩阵的元素个数

B是一个低秩矩阵，即

$$\text{rank}(B) \leq r, \quad (6)$$

r是一个常数，对于越高复杂度的背景，r越高。实验中，背景图像的奇异值总是迅速收敛到0，印证了该假设的正确性。

由于一张图像较远像素也往往有较高相关性，提取出的D通常可以使用现有的许多非局部自相似性的方法。

N假设为一个i.i.d(独立同分布白噪声)

In this paper, we just assume that the random noise is i.i.d. and $\|N\|_F \leq \delta$ for some $\delta > 0$. Thus we have:

$$\|D - B - T\|_F \leq \delta, \quad (7)$$

where $\|\cdot\|_F$ is the Frobenius norm (i.e. $\|X\|_F = \sqrt{\sum_{ij} X_{ij}^2}$).

在该模型中的k, r, δ , 对不同图像不同，但好消息是我们不需要直接计算出这些值。

通过该模型小目标检测实际上是从数据矩阵中恢复低秩分量和稀疏分量的问题

即：

$$\min_{B,T} \|B\|_* + \lambda \|T\|_1 \quad \text{s.t.} \quad D = B + T, \quad (8)$$

可转换为对应问题

$$\min_{B,T} \|B\|_* + \lambda \|T\|_1 + \frac{1}{2\mu} \|D - B - T\|_F^2, \quad (10)$$

因为该问题是一个凸问题，可以使用 Accelerated Proximal Gradient (APG)求解

Algorithm 1 Solution via Accelerated Proximal Gradient

Input: Infrared patch-image matrix $D \in R^{m \times n}$, λ .

1: $B_0 = B_{-1} = 0; T_0 = T_{-1} = 0; a_0 = a_{-1} = 1; \mu_0 > 0; \bar{\mu} > 0; \eta < 1$.

2: **while** not converged **do**

3: $Y_k^B = B_k + \frac{a_{k-1}-1}{a_k} (B_k - B_{k-1}), Y_k^T = T_k + \frac{a_{k-1}-1}{a_k} (T_k - T_{k-1})$.

4: $G_k^B = Y_k^B - \frac{1}{2} (Y_k^B + Y_k^T - D)$.

5: $(U, S, V) = \text{svd}(G_k^B), B_{k+1} = U S_{\frac{\mu_k}{2}} [S] V^t$.

6: $G_k^T = Y_k^T - \frac{1}{2} (Y_k^B + Y_k^T - D)$.

7: $T_{k+1} = \mathcal{S}_{\frac{\lambda \mu_k}{2}} [G_k^T]$.

8: $a_{k+1} = \frac{1 + \sqrt{4a_k^2 + 1}}{2}; \mu_{k+1} = \max(\eta \mu_k, \bar{\mu})$.

9: $k = k + 1$.

10: **end while**

Output: $B = B_k, T = T_k$.

其中

$$\mathcal{S}_\varepsilon[x] = \begin{cases} x - \varepsilon, & \text{if } x > \varepsilon, \\ x + \varepsilon, & \text{if } x < -\varepsilon, \\ 0, & \text{otherwise,} \end{cases} \quad (11)$$

该模型完整求解过程

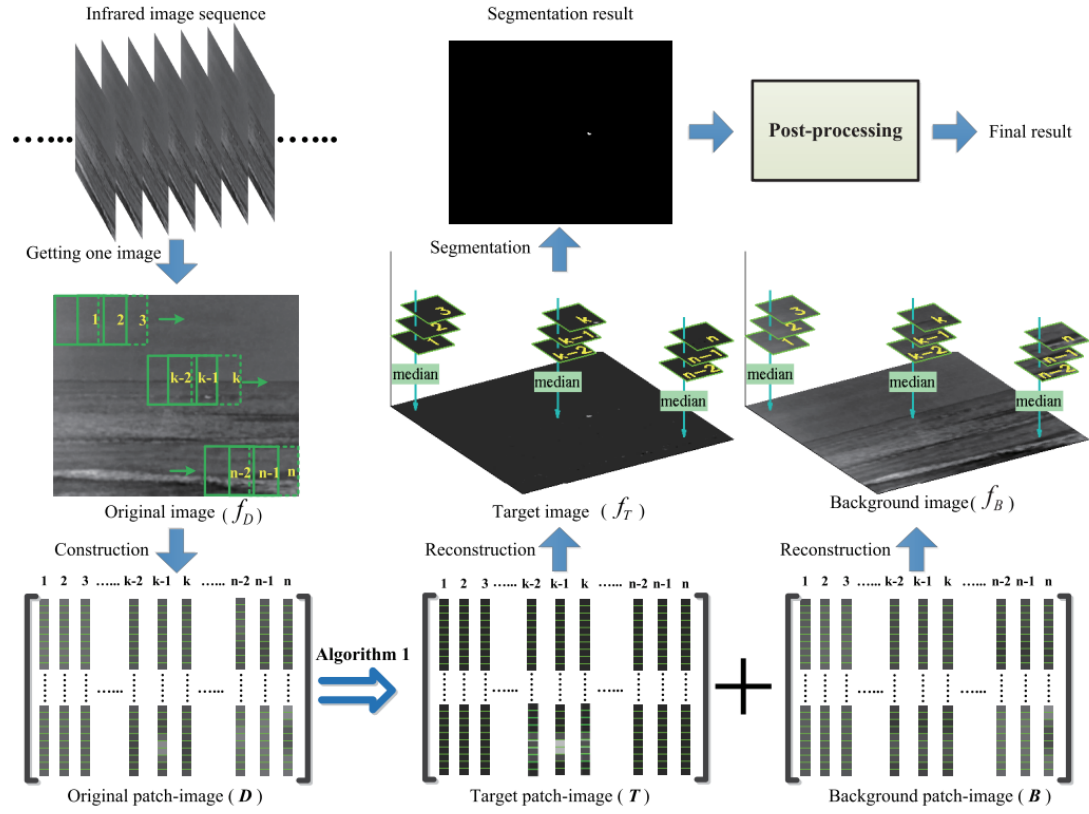


Fig. 5. The overview of the proposed method in this paper.

首先，根据从图像序列获得的原始红外图像 f_D 构建补丁图像 D 。

其次，将算法1应用于斑块图像 D 以同时估计低秩背景斑块图像 B 和稀疏目标斑块图像 T 。

第三，我们分别从补丁图像 B 和 T 重建背景图像 f_B 和目标图像 f_T 。

第四，我们使用一种简单的分割方法来自适应地分割目标图像 f_T ，因为它包含一些小值的误差。最后，通过后处理，对分割结果进行细化，得到最终的检测结果。

在算法1中，选择 $\lambda = 1/\sqrt{\max(m, n)}$ ， $\eta = 0.99$ ， $\mu_0 = s_2$ ， $\bar{\mu} = 0.05s_4$ ， s_2, s_4 是 D 的第二和第四奇异值。

第三步中重叠部分的像素使用中值滤波器，比均值滤波器鲁棒性更好。

第四步中设置阈值确定目标：

$$t_{up} = \max(v_{min}, \mu + k\sigma), \quad (12)$$

可按需要选择双边阈值：

$$t_{up} = \max(v_{min}, \mu + k\sigma), \quad (12)$$

$$t_{down} = \min(v_{max}, \mu - k\sigma), \quad (13)$$

v_{max} 、 v_{min} 、 k 为经验确定的常数， μ 、 σ 为 f_T 的均值和标准差

最后一步的后处理中可使用区域分析方法去删除错误检测目标，可使用形态学方法去提炼目标区域。并且使用统计技术估计目标在重建背景图像中的对应局部区域的复杂度，然后利用估计结果评估器可靠性。

参考链接: [Infrared Patch-Image Model for Small Target Detection in a Single Image](#)

然而由于核范数和1范数平等对待所有奇异值, 算出来的秩与真秩有些许偏差, 所以迭代结果可能只是局部最优解, 也就是说, 不能精确分离复杂图像的背景和目标。

后人通过 non-convex rank approximation 来改进 principal component analysis (PCA), 同时新提出的 alternating direction method of multipliers (ADMM) 比 accelerated proximal gradient (APG) 收敛更快更精确, 可以进一步优化算法。

ReWIPI模型

传统IPI模型由于l1范数不能完全描述稀疏性的缺陷, 会过于缩小小目标或在目标图像中留下背景成分。并且由于强边缘也有可能是稀疏的, 无法简单地与小目标进行区分。

通过结合结构先验信息, 为每个patch自适应权重, 提出了名为加权IPI weighted IPI (WIPI) 的方法, 然而每个patch都要进行计算, 十分费时。并且仅能分离某些特定类型的强边缘。

WIPI的作者分析, 其性能不令人满意的原因是**缺少相似的边缘样本**。虽然在奇异值部分和最小化partial sum minimisation of singular values (PSSV) 方法的帮助下, 可以保留较大的奇异值。然而, 该方法仍需准确估计目标的秩, 这实际上很难实现。

而且现有的基于低秩的方法没有考虑到亮度较低的非目标稀疏点的存在, 很容易误认成为目标。

进一步分析, 基于强边缘是否属于核范数最小化假设的相似边缘样本, 可以将强边缘划分为强势的强边缘与弱势的强边缘。这两种强边缘都是全局稀疏的, 但是只有弱势的强边缘是面片 patch之间仍具有稀疏性。通过最后分离的结果来看, 只有弱势的强边缘留在了目标图像中, 也就是说, **面片之间的稀疏性比面片内部的稀疏性更容易使得目标留在目标图像**。所以IPI模型性能不足的真实原因是存在具有面片间稀疏性的弱势强边缘同小目标进行混淆。

所以我们急需一种方法可以抑制目标图像中的非目标稀疏点的同时保持背景强边缘。

基于**加权核范数最小化weighted nuclear norm minimisation (WNNM)**可以通过**较小的权重惩罚较大的奇异值**的特点, 可以用来得到更为准确的背景图像。并且此方法并不需要准确计算出背景图像的秩。还可以**使用加权l1范数weighted l1 norm**, 通过**较大的权重惩罚非目标图像**, 得到更为准确的目标图像。根据这两种想法, 可以提出一种新的IPI模型, reweighted IPI。

加权核范数定义为:

$$\|B\|_{w,*} = \sum_j w_j \sigma_j(B) \quad (6)$$

$$w_j^{k+1} = \frac{1}{\sigma_j^k(B) + \varepsilon_B} \quad (7)$$

加权1范数定义为:

$$\|T\|_{W,1} = \|W \odot T\|_1 \quad (8)$$

$$W_{ij}^{k+1} = \frac{1}{|T_{ij}^k| + \varepsilon_T} \quad (9)$$

对于噪声图像，我们假设其符合高斯分布，所以有：

$$\|D - B - T\|_F \leq \delta \quad (10)$$

于是ReWIPI可表示成：

$$\min_{B,T} \|B\|_{W,*} + \lambda \|T\|_{W,1} \quad s.t. \quad \|D - B - T\|_F \leq \delta \quad (11)$$

该问题可以用拉格朗日乘子法等多种方法求解，见下文

参考：[Small target detection based on reweighted infrared patch-image model](#)

Robust PCA via Nonconvex Rank Approximation

主成分分析principal component analysis(PCA)是一种很好的将原始高维数据投影到低维空间的降维技术。然而，一旦存在一个严重偏离实际的数据，PCA的结果将会不尽人意。

为了增强对异常值或观测时损坏的数据的鲁棒性，我们需要一种算法进行Robust PCA (RPCA)，并尽可能保证算法复杂度较低。

通常来说，问题可以建模成：

$$\min_{L,S} \text{rank}(L) + \lambda \|S\|_0 \quad s.t. \quad X = L + S, \quad (1)$$

找到实际低秩矩阵的秩和实际稀疏矩阵的非零元个数，也就是最小化所认定为低秩矩阵的秩以及所认定的稀疏矩阵的非零元个数。

以上问题是一个NP-Hard问题。但可以通过将非凸的秩函数放松成核函数，将L0范数放松成L1范数进行简化成凸函数：

$$\min_{L,S} \|L\|_* + \lambda \|S\|_1 \quad s.t. \quad X = L + S, \quad (2)$$

在不相干假设下，低秩矩阵和稀疏分量可以以压倒性的概率准确恢复。参考：[Robust principal component analysis?](#)

遇到的问题：

1. 不是所有矩阵都能有一致性保证（满足不相干假设），数据可能会严重损坏，这样求出的最优解会明显偏离真值。

2. 核函数本质上是矩阵奇异值的 ℓ_1 范数，然而 ℓ_1 范数本身就有收缩效应，这会导致得到的估计是有偏的。也就是说，RPCA将所有奇异值平均加权实际上过度惩罚了大的奇异值，导致结果偏离了较多。

虽然我们可以利用对 ℓ_1 范数的非凸惩罚，如截断的 ℓ_1 范数进行修正。但是这些方法只适用于特殊场景。

于是提出利用一种新的非凸函数进行对秩的逼近，通过增强的拉格朗日乘子法 Augmented Lagrange

Multiplier (ALM) 求解此非凸函数。

定义的新 γ 范数：

We define γ -norm of matrix L as

$$\|L\|_\gamma = \sum_i \frac{(1+\gamma)\sigma_i(L)}{\gamma + \sigma_i(L)}, \quad \gamma > 0. \quad (6)$$

问题变成：

$$\min_{L,S} \|L\|_\gamma + \lambda \|S\|_l \quad s.t. \quad X = L + S, \quad (5)$$

ALM:

$$\begin{aligned} \mathcal{L}(L, S, Y, \mu) = & \|L\|_\gamma + \lambda \|S\|_l + \\ & \langle Y, L + S - X \rangle + \frac{\mu}{2} \|L + S - X\|_F^2, \end{aligned} \quad (7)$$

Y 是拉格朗日乘子，用于消除等式约束， μ 是一个正参数，用来稍加约束误差，引入 Frobenius 范数计算误差作为二次惩罚项。 $\langle \cdot, \cdot \rangle$ 是两个矩阵的内积，也可以表示成 $tr(A^T B)$ 。

通过以下方程更新 L , Y , μ 直至收敛：

$$L^{t+1} = \arg \min_L \|L\|_\gamma + \frac{\mu^t}{2} \left\| L - \left(X - S^t - \frac{Y^t}{\mu^t} \right) \right\|_F^2. \quad (8)$$

$$S^{t+1} = \arg \min_S \lambda \|S\|_l + \frac{\mu^t}{2} \left\| S - \left(X - L^{t+1} - \frac{Y^t}{\mu^t} \right) \right\|_F^2. \quad (13)$$

$$Y^{t+1} = Y^t + \mu^t (L^{t+1} - X + S^{t+1}), \quad (16)$$

$$\mu^{t+1} = \rho \mu^t, \quad (17)$$

L 的迭代求解：

因为对于优化问题: $\min_Z F(Z) + \frac{\mu}{2} \|Z - A\|_F^2$ 的最优解 Z^* 可SVD成 $U \sum_Z^* V^T$, $\sum_Z^* = \text{diag}(\sigma^*)$, σ^* 是优化问题 $\arg \min_{\sigma \geq 0} f(\sigma) + \frac{\mu}{2} \|\sigma - \sigma_A\|_F^2$ 的最优解。

而上述问题又是凹函数和凸函数的联合, 可以用差分凸规划 difference of convex (DC)

programming迭代优化, 直至收敛:

$$\sigma^{k+1} = (\sigma_A - \frac{\omega_k}{\mu^t})_+, \quad (12)$$

其中 w_k 是 $f(\sigma_k)$ 的梯度

最后 $L^{t+1} = U \text{diag}(\sigma^*) V^T$

S的迭代求解:

若方程13用的是S的联合2,1范数, 则解可以表示成:

$$[S^{t+1}]_{:,i} = \begin{cases} \frac{\|Q_{:,i}\|_2 - \frac{\lambda}{\mu^t}}{\|Q_{:,i}\|_2} Q_{:,i}, & \text{if } \|Q_{:,i}\|_2 > \frac{\lambda}{\mu^t}; \\ 0, & \text{otherwise,} \end{cases} \quad (14)$$

其中: $Q = X - L^{t+1} - \frac{Y^t}{\mu^t}$, $[S^{t+1}]_{:,i}$ 是 S^{t+1} 的第i列,

$$\|S\|_{2,1} = \sum_i \sqrt{\sum_j S_{ij}^2}$$

若用的S的1范数, 则解可以表示成:

$$[S^{t+1}]_{ij} = \max \left(|Q_{ij}| - \frac{\lambda}{\mu^t}, 0 \right) \text{sign}(Q_{ij}). \quad (15)$$

参数设置

1. λ

λ 太大会导致S迭代成0, 最后L仍为一个高秩矩阵, λ 太小会导致L最后为0, 可以将 λ 设置成 $1/\sqrt{\max(m, n)}$ 邻域的任意值, 实验证明 λ 在相当范围内不敏感, 可以设置成 $10e-3$

2. ρ

$\rho > 1$, 若 ρ 较大, 则收敛更快, 若 ρ 较小, 则结果更精确。通常取1.1。

3. μ

可分别取 $1e-4$, $3e-3$, 0.5 , 4 进行实验确定效果

参考论文: [Robust PCA via Nonconvex Rank Approximation](#)

根据以上工作，提出以下方法

Infrared Small Target Detection via Non-Convex Rank Approximation Minimization Joint $\ell_{2,1}$ Norm

算法原理

$$f_D = f_B + f_T + f_N \quad (3)$$

引用一种 γ norm

$$\|B\|_{\gamma} = \sum_i \frac{(1+\gamma)\sigma_i(B)}{\gamma + \sigma_i(B)}, \quad \gamma > 0 \quad (4)$$

γ 趋近0是B的秩，趋于无穷是B的核范数。

显然， γ 范数几乎与真秩一致（此处使用 $\gamma=0.002$ ），解决了传统凸核范数中不同奇异值的不平衡惩罚

weighted nuclear norm (WNN) 的逼近效果也很好，但每次都要重新计算权重时都要重新进行奇异值分解，增加了计算量。总体性能并不能比上 γ 范数。

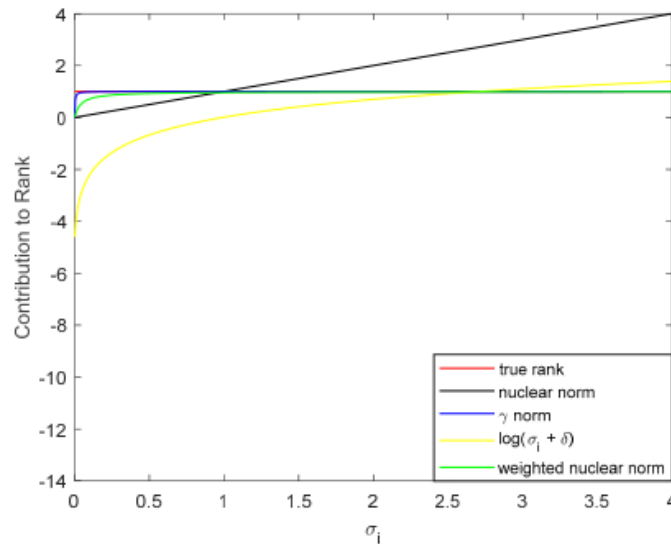


Figure 2. The contribution of different surrogates to the rank with respect to a varying singular value. The true rank is 1 for a nonzero σ_i .

加权1范数

$$\|T\|_{W,1} = \sum_{ij} W_{ij} |T_{ij}| \quad (5)$$

$$W_{ij} = \frac{C}{|T_{ij}| + \epsilon_T} \quad (6)$$

联合2,1范数

$$\|E\|_{2,1} = \sum_i \sqrt{\sum_j E_{ij}^2} \quad (7)$$

于是目标问题就变成

$$\begin{aligned} \min \quad & \|B\|_\gamma + \lambda \|T\|_{w,1} + \beta \|E\|_{2,1} \\ \text{s.t.} \quad & X = B + T + E \end{aligned} \quad (8)$$

引入拉格朗日乘子项和二次惩罚项将问题简化

$$L(D, B, T, E, Y, \mu) = \|B\|_\gamma + \lambda \|T\|_{w,1} + \beta \|E\|_{2,1} + \langle Y, D - B - T - E \rangle + \frac{\mu}{2} \|D - B - T - E\|_F^2 \quad (9)$$

问题进一步转换成一下子问题：

$$B^{k+1} = \underset{B}{\operatorname{argmin}} \|B\|_\gamma + \frac{\mu^k}{2} \|D - B - T^k - E^k - \frac{Y^k}{\mu^k}\|_F^2 \quad (10)$$

$$T^{k+1} = \underset{T}{\operatorname{argmin}} \lambda \|T\|_{w,1} + \frac{\mu^k}{2} \|D - B^{k+1} - T - E^k - \frac{Y^k}{\mu^k}\|_F^2 \quad (11)$$

$$E^{k+1} = \underset{E}{\operatorname{argmin}} \beta \|E\|_{2,1} + \frac{\mu^k}{2} \|D - B^{k+1} - T^{k+1} - E - \frac{Y^k}{\mu^k}\|_F^2 \quad (12)$$

可以通过最小化加权核范数逐渐求得B

At the $(t + 1)$ th inner iteration

$$\sigma^{t+1} = \underset{\sigma \geq 0}{\operatorname{argmin}} \langle \omega_t, \sigma \rangle + \frac{\mu^k}{2} \|\sigma - \sigma_A\|_2^2 \quad (13)$$

which admits a closed-form solution

$$\sigma^{t+1} = \max(\sigma_A - \frac{\omega_t}{\mu^k}, 0) \quad (14)$$

对于联合2,1范数，T的迭代解可以表示成：

According to [55] and [28], Equations (11) and (12) can be solved as

$$T^{k+1} = S_{\lambda W / \mu^k}(D - B^{k+1} - E^k - \frac{Y^k}{\mu^k}) \quad (15)$$

$$[E^{k+1}]_{:,i} = \begin{cases} \frac{\|Q_{:,i}\|_2 - \frac{\beta}{\mu^k}}{\|Q_{:,i}\|_2} Q_{:,i} & \text{if } \|Q_{:,i}\|_2 > \frac{\beta}{\mu^k} \\ 0 & \text{otherwise} \end{cases} \quad (16)$$

where $Q = D - B^{k+1} - T^{k+1} - \frac{Y^k}{\mu^k}$ and $[E^{k+1}]_{:,i}$ is the i -th column of E^{k+1} .

Y and μ updates in the standard way:

$$Y^{k+1} = Y^k + \mu^k (D - B^{k+1} - T^{k+1} - E^{k+1}) \quad (17)$$

$$\mu^{k+1} = \rho \mu^k \quad (18)$$

where $\rho > 1$.

算法流程如下：

Algorithm 1: ALM/DC solver to the NRAM model

Input: Original patch-image $D, \lambda, \beta, \mu^0, \gamma$;

Output: $B = B^k + E^k, T = T^k$;

Initialize: $B^0 = T^0 = E^0 = Y^0 = 0, \rho = 1.1, \varepsilon = 10^{-7}, k = 0, W^0 = 1 * 1^T, \Lambda^0 = 0 \in R^{\min(m,n) \times 1}$;

While not converged **do**

1: Fix the others and update B by DC programming;

2: Fix the others and update T by

$$T^{k+1} = S_{\lambda W / \mu^k}(D - B^{k+1} - E^k - \frac{Y^k}{\mu^k});$$

3: Fix the others and update E by

$$[E^{k+1}]_{:,i} = \begin{cases} \frac{\|Q_{:,i}\|_2 - \frac{\beta}{\mu^k}}{\|Q_{:,i}\|_2} Q_{:,i} & \text{if } \|Q_{:,i}\|_2 > \frac{\beta}{\mu^k} \\ 0 & \text{otherwise} \end{cases};$$

4: Fix the others and update Y by

$$Y^{k+1} = Y^k + \mu^k(D - B^{k+1} - T^{k+1} - E^{k+1});$$

5: Update W by

$$W_{ij} = \frac{C}{|T_{ij}| + \varepsilon_T};$$

6: Update μ by

$$\mu^{k+1} = \rho \mu^k;$$

7: Check the convergence conditions

$$\frac{\|D - B^{k+1} - T^{k+1} - E^{k+1}\|_F}{\|D\|_F} < \varepsilon;$$

8: Update k ;

$$k = k + 1;$$

End while

Algorithm 2: DC programming

Input: $B^k, \gamma, A = D - T^k - E^k - \frac{Y^k}{\mu^k}, \Lambda^0$;

Output: B^{k+1}, Λ^{t+1} ;

Initialize: $t = 0, [U, S, V] = \text{svd}(A)$;

While not converged **do**

1: Calculate

$$\omega_t = \frac{(1 + \gamma)\gamma}{(\gamma + \Lambda^t)^2}, \Lambda^{t+1} = \max(S - \frac{\omega_t}{\mu^k}, 0);$$

2: Check the convergence conditions

$$\|\Lambda^{t+1} - \Lambda^t\|_2 < \varepsilon;$$

End while

3: $B^{k+1} = U\Lambda^{t+1}V$;

对应matlab程序

```
1 % 主程序
2 clc;clear;
3 close all;
4
5 addpath('functions/')
6 addpath('tools/')
7 saveDir = 'results/';
8 imgpath = 'images/';
9 imgDir = dir([imgpath '*.bmp']);
10
11 % patch parameters
12 patchSize = 40;
13 slideStep = 40;
```

```

14 lambdaL = 0.7; %tuning
15
16 len = length(imgDir);
17 % for i=1:len
18 for i=1:len
19     img = imread([imgpath imgDir(i).name]);
20     figure,subplot(131)
21     imshow(img),title('Original image')
22
23     if ndims( img ) == 3
24         img = rgb2gray( img );
25     end
26     img = double(img);
27
28     %% constrcut patch tensor of original image
29     tenD = gen_patch_ten(img, patchSize, slideStep);
30     [n1,n2,n3] = size(tenD);
31
32     %% calculate prior weight map
33     %      step 1: calculate two eigenvalues from structure tensor
34     [lambda1, lambda2] = structure_tensor_lambda(img, 3);
35     %      step 2: calculate corner strength function
36     cornerStrength = (((lambda1.*lambda2)./(lambda1 + lambda2)));
37     %      step 3: obtain final weight map
38     maxValue = (max(lambda1,lambda2));
39     priorWeight = mat2gray(cornerStrength .* maxValue);
40     %      step 4: constrcut patch tensor of weight map
41     tenW = gen_patch_ten(priorWeight, patchSize, slideStep);
42
43     %% The proposed model
44     lambda = lambdaL / sqrt(max(n1,n2)*n3);
45     [tenB,tenT] = trpca_pstnn(tenD,lambda,tenW);
46
47     %% recover the target and background image
48     tarImg = res_patch_ten_mean(tenT, img, patchSize, slideStep);
49     backImg = res_patch_ten_mean(tenB, img, patchSize, slideStep);
50
51     maxv = max(max(double(img)));
52     E = uint8( mat2gray(tarImg)*maxv );
53     A = uint8( mat2gray(backImg)*maxv );
54     subplot(132),imshow(E,[]),title('Target image')
55     subplot(133),imshow(A,[]),title('Background image')
56     % save the results
57     imwrite(E, [saveDir 'target/' imgDir(i).name]);
58     imwrite(A, [saveDir 'background/' imgDir(i).name]);
59
60 end
61
62
63 % 滑动窗提取Patch
64 function patchTen = gen_patch_ten(img, patchSize, slideStep)
65
66 % 2017-07-31

```

```

67 % This matlab code implements the RIPT model for infrared target-
    background
68 % separation.
69 %
70 % Yimian Dai. Questions? yimian.dai@gmail.com
71 % Copyright: College of Electronic and Information Engineering,
72 %           Nanjing University of Aeronautics and Astronautics
73
74
75 if ~exist('patchSize', 'var')
76     patchSize = 50;
77 end
78
79 if ~exist('slideStep', 'var')
80     slideStep = 10;
81 end
82
83 % img = reshape(1:9, [3 3])
84 % img = reshape(1:12, [3 4])
85 % patchSize = 2;
86 % slideStep = 1;
87 [imgHei, imgWid] = size(img);
88
89 rowPatchNum = ceil((imgHei - patchSize) / slideStep) + 1;
90 colPatchNum = ceil((imgWid - patchSize) / slideStep) + 1;
91 rowPosArr = [1 : slideStep : (rowPatchNum - 1) * slideStep, imgHei -
    patchSize + 1];
92 colPosArr = [1 : slideStep : (colPatchNum - 1) * slideStep, imgWid -
    patchSize + 1];
93
94 %% arrayfun version, identical to the following for-loop version
95 [meshCols, meshRows] = meshgrid(colPosArr, rowPosArr);
96 idx_fun = @(row,col) img(row : row + patchSize - 1, col : col +
    patchSize - 1);
97 patchCell = arrayfun(idx_fun, meshRows, meshCols, 'UniformOutput',
    false);
98 patchTen = cat(3, patchCell{:});
99
100 %% for-loop version
101 % patchTen = zeros(patchSize, patchSize, rowPatchNum * colPatchNum);
102 % k = 0;
103 % for col = colPosArr
104 %     for row = rowPosArr
105 %         k = k + 1;
106 %         tmp_patch = img(row : row + patchSize - 1, col : col +
    patchSize - 1);
107 %         patchTen(:, :, k) = tmp_patch;
108 %     end
109 % end
110 end
111
112
113 % 计算结构化张量的特征值
114 function [lambda_1, lambda_2] = structure_tensor_lambda(img, sz)

```

```

115
116 G = fspecial('gaussian', [sz sz], 2); % Gaussian kernel
117 u = imfilter(img, G, 'symmetric');
118 [Gx, Gy] = gradient(u);
119
120 K = fspecial('gaussian', [sz sz], 9); % Gaussian kernel
121 J_11 = imfilter(Gx.^2, K, 'symmetric');
122 J_12 = imfilter(Gx.*Gy, K, 'symmetric');
123 J_21 = J_12;
124 J_22 = imfilter(Gy.^2, K, 'symmetric');
125
126 sqrt_delta = sqrt((J_11 - J_22).^2 + 4*J_12.^2);
127 lambda_1 = 0.5*(J_11 + J_22 + sqrt_delta);
128 lambda_2 = 0.5*(J_11 + J_22 - sqrt_delta);
129
130 % 计算目标和背景
131 function [L,S] = trpca_pstnn(X, lambda, tenW, opts)
132
133 tol = 1e-3;
134 max_iter = 500;
135 rho = 1.05;
136 mu = 2*1e-3;
137 max_mu = 1e10;
138 DEBUG = 1;
139 N = rankN(X,0.1);
140
141
142 if ~exist('opts', 'var')
143     opts = [];
144 end
145 if isfield(opts, 'tol');           tol = opts.tol;           end
146 if isfield(opts, 'max_iter');      max_iter = opts.max_iter; end
147 if isfield(opts, 'rho');           rho = opts.rho;           end
148 if isfield(opts, 'mu');            mu = opts.mu;             end
149 if isfield(opts, 'max_mu');        max_mu = opts.max_mu;     end
150 if isfield(opts, 'DEBUG');         DEBUG = opts.DEBUG;       end
151 if isfield(opts, 'N');             N = opts.N;               end
152
153 dim = size(X);
154 L = zeros(dim);
155 S = zeros(dim);
156 Y = zeros(dim);
157 weightTen = ones(dim);
158 for iter = 1 : max_iter
159
160     preT = sum(S(:) > 0);
161
162     % update L
163     R = -S+X-Y/mu;
164     L = prox_pstnn(R,N,mu);
165
166     % update S
167     T = -L+X-Y/mu;
168     S = prox_l1(T, weightTen*lambda/mu);

```

```

169     weightTen = N./ (abs(S) + 0.01)./tenW;
170
171     dY = L+S-X;
172     err = norm(dY(:))/norm(X(:));
173     if DEBUG
174         if iter == 1 || mod(iter, 1) == 0
175             disp(['iter ' num2str(iter) ', mu=' num2str(mu) ...
176                 ', err=' num2str(err) ...
177                 ', |T|_0 = ' num2str(sum(S(:) > 0))]);
178         end
179     end
180     currT = sum(S(:) > 0);
181     if err < tol || (preT>0 && currT>0 && preT == currT)
182         break;
183     end
184     Y = Y + dY*mu;
185     mu = min(rho*mu,max_mu);
186 end
187
188
189 % 估计矩阵的秩
190 function N = rankN(X, ratioN)
191     [~,~,n3] = size(X);
192     D = Unfold(X,n3,1);
193     [~, S, ~] = svd(D, 'econ');
194     [desS, ~] = sort(diag(S), 'descend');
195     ratioVec = desS / desS(1);
196     idxArr = find(ratioVec < ratioN);
197     if idxArr(1) > 1
198         N = idxArr(1) - 1;
199     else
200         N = 1;
201     end
202 end
203
204
205 % 核范数的优化
206 function [X] = prox_pstnn(Y,N,mu)
207
208     [n1,n2,n3] = size(Y);
209     X = zeros(n1,n2,n3);
210     Y = fft(Y,[],3);
211     tau = 1/mu;
212
213
214 % first frontal slice
215     [U,S,V] = svd(Y(:,:,1),'econ');
216     diagS = diag(S);
217     [desS, sIdx] = sort(diagS, 'descend');
218     [desU, desV] = deal(U(:, sIdx), V(:, sIdx));
219     [U1, diagS1, V1] = deal(desU(:, 1:N), desS(1:N), desV(:, 1:N));
220     [U2, diagS2, V2] = deal(desU(:, N+1:end), desS(N+1:end), desV(:,
221     N+1:end));
222     threshS2 = max(diagS2-tau, 0);

```

```

222 X(:, :, 1) = U1*diag(diagS1)*V1' + U2*diag(threshS2)*V2';
223
224
225 % i=2, ..., halfn3
226 halfn3 = round(n3/2);
227 for i = 2 : halfn3
228     [U,S,V] = svd(Y(:, :, i), 'econ');
229     diagS = diag(S);
230     [desS, sIdx] = sort(diagS, 'descend');
231     [desU, desV] = deal(U(:, sIdx), V(:, sIdx));
232     [U1, diagS1, V1] = deal(desU(:, 1:N), desS(1:N), desV(:, 1:N));
233     [U2, diagS2, V2] = deal(desU(:, N+1:end), desS(N+1:end), desV(:,
N+1:end));
234     threshS2 = max(diagS2-tau, 0);
235     X(:, :, i) = U1*diag(diagS1)*V1' + U2*diag(threshS2)*V2';
236     X(:, :, n3+2-i) = conj(X(:, :, i));
237 end
238
239 % if n3 is even
240 if mod(n3,2) == 0
241     i = halfn3+1;
242     [U,S,V] = svd(Y(:, :, i), 'econ');
243     diagS = diag(S);
244     [desS, sIdx] = sort(diagS, 'descend');
245     [desU, desV] = deal(U(:, sIdx), V(:, sIdx));
246     [U1, diagS1, V1] = deal(desU(:, 1:N), desS(1:N), desV(:, 1:N));
247     [U2, diagS2, V2] = deal(desU(:, N+1:end), desS(N+1:end), desV(:,
N+1:end));
248     threshS2 = max(diagS2-tau, 0);
249     X(:, :, i) = U1*diag(diagS1)*V1' + U2*diag(threshS2)*V2';
250 end
251
252 X = ifft(X, [], 3);
253
254 end
255
256
257 % 1范数的优化
258 function x = prox_l1(b, lambda)
259
260 x = max(0, b-lambda)+min(0, b+lambda);
261 x = max(x, 0);
262 end
263
264
265 % 合并面片为图像
266 function recImg = res_patch_ten_mean(patchTen, img, patchSize,
slideStep)
267
268 % 2017-07-31
269 % This matlab code implements the RIPT model for infrared target-
background
separation.
270 %
271 %

```



```

272 % Yimian Dai. Questions? yimian.dai@gmail.com
273 % Copyright: College of Electronic and Information Engineering,
274 %           Nanjing University of Aeronautics and Astronautics
275
276 [imgHei, imgWid] = size(img);
277
278 rowPatchNum = ceil((imgHei - patchSize) / slideStep) + 1;
279 colPatchNum = ceil((imgWid - patchSize) / slideStep) + 1;
280 rowPosArr = [1 : slideStep : (rowPatchNum - 1) * slideStep, imgHei -
patchSize + 1];
281 colPosArr = [1 : slideStep : (colPatchNum - 1) * slideStep, imgWid -
patchSize + 1];
282
283 %% for-loop version
284 accImg = zeros(imgHei, imgWid);
285 weiImg = zeros(imgHei, imgWid);
286 k = 0;
287 onesMat = ones(patchSize, patchSize);
288 for col = colPosArr
289     for row = rowPosArr
290         k = k + 1;
291         tmpPatch = reshape(patchTen(:, :, k), [patchSize, patchSize]);
292         accImg(row : row + patchSize - 1, col : col + patchSize - 1) =
tmpPatch;
293         weiImg(row : row + patchSize - 1, col : col + patchSize - 1) =
onesMat;
294     end
295 end
296
297 recImg = accImg ./ weiImg;
298 end
299

```

根据matlab代码自己写的python代码:

```

1 import numpy as np
2 import matplotlib.pyplot as plt
3 import cv2
4 import math
5 import scipy
6
7
8 def init(path):
9     pic = plt.imread(path)
10    plt.figure()
11    plt.subplot(131)
12    plt.title('Original')
13    if pic.ndim == 2:
14        plt.imshow(pic, cmap='gray')
15    if pic.ndim == 3:
16        plt.imshow(pic)
17        pic = cv2.cvtColor(pic, cv2.COLOR_RGB2GRAY)
18    pic = np.float64(pic)

```

```

19
20     return pic
21
22
23 def gen_patch(pic, patch_size=40, slide_step=40):
24
25     pic_H, pic_W = np.shape(pic)[0:2]
26
27     row_patch_num = math.ceil((pic_H - patch_size) / slide_step + 1)
28     col_patch_num = math.ceil((pic_W - patch_size) / slide_step + 1)
29     row_pos_arr = list(range(0, slide_step * (row_patch_num - 1),
slide_step))
30     row_pos_arr.append(pic_H - patch_size)
31     col_pos_arr = list(range(0, slide_step * (col_patch_num - 1),
slide_step))
32     col_pos_arr.append(pic_W - patch_size)
33
34     Patch = np.zeros((patch_size, patch_size, row_patch_num *
col_patch_num))
35     k = 0
36     for j in col_pos_arr:
37         for i in row_pos_arr:
38             patch_cell = pic[i:i + patch_size, j:j + patch_size]
39             Patch[:, :, k] = patch_cell
40             k += 1
41
42     return Patch
43
44
45 def res_patch(patch, pic, patch_size=40, slide_step=40):
46
47     pic_H, pic_W = np.shape(pic)[0:2]
48
49     row_patch_num = math.ceil((pic_H - patch_size) / slide_step + 1)
50     col_patch_num = math.ceil((pic_W - patch_size) / slide_step + 1)
51     row_pos_arr = list(range(0, slide_step * (row_patch_num - 1),
slide_step))
52     row_pos_arr.append(pic_H - patch_size)
53     col_pos_arr = list(range(0, slide_step * (col_patch_num - 1),
slide_step))
54     col_pos_arr.append(pic_W - patch_size)
55
56     accImg = np.zeros((pic_H, pic_W))
57     weiImg = np.zeros((pic_H, pic_W))
58     onesMat = np.ones((patch_size, patch_size))
59     k = 0
60     for j in col_pos_arr:
61         for i in row_pos_arr:
62             tempPatch = np.reshape(patch[:, :, k], (patch_size,
patch_size))
63             accImg[i:i+patch_size, j:j+patch_size] = tempPatch
64             weiImg[i:i+patch_size, j:j+patch_size] = onesMat
65             k += 1
66

```

```

67     return accImg / weiImg
68
69
70 def structure_tensor_lambda(pic, size=3):
71     Gaussian_kernel = cv2.getGaussianKernel(size, 2) @
cv2.getGaussianKernel(3, 2).T
72     u = scipy.ndimage.convolve(pic, Gaussian_kernel)
73     Gx, Gy = np.gradient(u)
74
75     Gaussian_kernel = cv2.getGaussianKernel(size, 9) @
cv2.getGaussianKernel(3, 9).T
76     J_11 = scipy.ndimage.convolve(Gx * Gx, Gaussian_kernel)
77     J_12 = scipy.ndimage.convolve(Gx * Gy, Gaussian_kernel)
78     J_21 = J_12
79     J_22 = scipy.ndimage.convolve(Gy * Gy, Gaussian_kernel)
80
81     sqrt_delta = ((J_11 - J_22) ** 2 + 4 * (J_12 ** 2)) ** (1 / 2)
82     lambda1 = 0.5 * (J_11 + J_22 + sqrt_delta)
83     lambda2 = 0.5 * (J_11 + J_22 - sqrt_delta)
84
85     return lambda1, lambda2
86
87
88 def prox_pstnn(Y, N, mu):
89     dim = Y.shape
90     X = np.zeros(dim, dtype='complex')
91     Y = np.fft.fft(Y)
92     tau = 1 / mu
93
94     U, diagS, V = np.linalg.svd(Y[:, :, 0])
95     des_S = np.sort(diagS)[::-1]
96     idx_S = np.argsort(diagS)[::-1]
97     des_U, des_V = U[:, idx_S], V.T[:, idx_S]
98     U1, diagS1, V1 = des_U[:, 0:N+1], des_S[0:N+1], des_V[:, 0:N+1]
99     U2, diagS2, V2 = des_U[:, N+1:], des_S[N+1:], des_V[:, N+1:]
100    threshS2 = np.fmax(diagS2 - tau, 0)
101    X[:, :, 0] = U1 @ np.diag(diagS1) @ V1.T + U2 @ np.diag(threshS2) @
V2.T
102
103    half_n3 = round(dim[2] / 2)
104    for i in range(1, half_n3 + 1):
105        U, diagS, V = np.linalg.svd(Y[:, :, i])
106        des_S = np.sort(diagS)[::-1]
107        idx_S = np.argsort(diagS)[::-1]
108        des_U, des_V = U[:, idx_S], V.T[:, idx_S]
109        U1, diagS1, V1 = des_U[:, 0:N+1], des_S[0:N+1], des_V[:, 0:N+1]
110        U2, diagS2, V2 = des_U[:, N+1:], des_S[N+1:], des_V[:, N+1:]
111        threshS2 = np.fmax(diagS2 - tau, 0)
112        X[:, :, i] = U1 @ np.diag(diagS1) @ V1.T + U2 @
np.diag(threshS2) @ V2.T
113        X[:, :, dim[2] - i] = np.conj(X[:, :, i])
114
115    if dim[2] % 2 == 0:
116        i = half_n3 + 1

```

```

117     U, diagS, V = np.linalg.svd(Y[:, :, i])
118     des_S = np.sort(diagS)[::-1]
119     idx_S = np.argsort(diagS)[::-1]
120     des_U, des_V = U[:, idx_S], V.T[:, idx_S]
121     U1, diagS1, V1 = des_U[:, 0:N+1], des_S[0:N+1], des_V[:, 0:N +
122 1]
123     U2, diagS2, V2 = des_U[:, N+1:], des_S[N+1:], des_V[:, N+1:]
124     threshS2 = np.fmax(diagS2 - tau, 0)
125     X[:, :, i] = U1 @ np.diag(diagS1) @ V1.T + U2 @
126 np.diag(threshS2) @ V2.T
127
128     X = np.fft.ifft(X)
129
130     return X.real
131
132 def prox_l1(b, lambda_):
133     x = np.fmax(0, b - lambda_) + np.fmin(0, b + lambda_)
134     x = np.fmax(x, 0)
135
136     return x
137
138 def rankN(x, ration_n):
139
140     num3 = np.shape(x)[2]
141     re_x = x.reshape(num3, -1, order='F')
142     S_diag = np.linalg.svd(re_x)[1]
143     des_S = np.sort(S_diag)[::-1]
144     ratioVec = des_S / des_S[0]
145     idxArr = np.where(ratioVec < ration_n)[0]
146     if idxArr[0] > 0:
147         N = idxArr[0] - 1
148     else:
149         N = 0
150
151     return N
152
153
154 def trpca_pstnn(X, lambda_, tenW, tol=1e-3, max_iter=500, rho=1.05,
155 mu=2e-3, max_mu=1e10, debug=None):
156
157     N = rankN(X, 0.1)
158
159     dim = np.shape(X)
160     L = np.zeros(dim)
161     S = np.zeros(dim)
162     Y = np.zeros(dim)
163     weightTen = np.ones(dim)
164
165     for iter in range(max_iter):
166         preT = np.sum(S > 0)
167
168         R = -S + X - Y / mu

```

```

168         L = prox_pstnn(R, N, mu)
169
170         T = -L + X - Y / mu
171         S = prox_l1(T, weightTen * lambda_ / mu)
172         weightTen = N+1 / (np.abs(S) + 0.01) / tenW
173
174         dY = L + S - X
175         err = np.linalg.norm(dY) / np.linalg.norm(X)
176         currT = np.sum(S[:] > 0)
177
178         if debug:
179             print("iter: %d , mu: %.4f, err: %.4f, |T|0: %d" % (iter,
mu, err, int(currT)))
180
181         if err < tol or (0 < preT == currT > 0):
182             break
183
184         Y = Y + dY * mu
185         mu = min(rho * mu, max_mu)
186
187     return L, S
188
189
190 lambdaL = 0.7
191
192 img = init("./1.bmp")
193 D = gen_patch(img)
194
195 n1, n2, n3 = D.shape
196
197 lambdaDa1, lambdaDa2 = structure_tensor_lambda(img)
198 cornerStrength = (lambdaDa1 * lambdaDa2) / (lambdaDa1 + lambdaDa2)
199 maxValue = np.maximum(lambdaDa1, lambdaDa2)
200 priorWeight = np.zeros(maxValue.shape, np.float64)
201 cv2.normalize(cornerStrength * maxValue, priorWeight, 1.0, 0.0,
cv2.NORM_MINMAX, dtype=cv2.CV_64F)
202 W = gen_patch(priorWeight)
203
204 lambda0 = lambdaL / math.sqrt(max(n1, n2) * n3)
205
206 B, T_ = trpca_pstnn(D, lambda0, W)
207
208 tarImg = res_patch(T_, img)
209 backImg = res_patch(B, img)
210
211 maxV = np.max(img)
212 E = cv2.normalize(tarImg, None, 1, 0, cv2.NORM_MINMAX,
dtype=cv2.CV_64F)*maxV
213 E = E.astype(np.uint8)
214 A = cv2.normalize(backImg, None, 1, 0, cv2.NORM_MINMAX,
dtype=cv2.CV_64F)*maxV
215 A = A.astype(np.uint8)
216 plt.subplot(132)
217 plt.imshow(E, cmap='gray')

```

```
218 plt.title("Target")
219 plt.subplot(133)
220 plt.imshow(A, cmap='gray')
221 plt.title("Background")
222
223 plt.show()
224
```

自己的疑问

为什么平均对待奇异值会导致无法区分出背景与目标

为什么会这么计算先验权重图